

Codes LDPC

4 novembre 2011

Plan

- 1 Codes LDPC
- 2 Décodage itératif
- 3 Codes QC-LDPC
- 4 Codes "Protographes"
- 5 Familles dérivées.
- 6 Analyse asymptotique
- 7 Performances

Plan

- 1 Codes LDPC
- 2 Décodage itératif
- 3 Codes QC-LDPC
- 4 Codes "Protographes"
- 5 Familles dérivées.
- 6 Analyse asymptotique
- 7 Performances

Codes LDPC

Introduction

- 1963 : Gallager, codes LDPC régulier, décodeur A et B
- 1981 : Tanner, codes définis sur les graphes.
- 1995 : MacKay, décodage par BP
- 2001 : Richardson et Urbanke, codes LDPC irréguliers et évolutions de densités.

Codes Low-Density Parity-Check (LDPC)

Introduction

Définition

$$\mathcal{C}_H = \{\mathbf{c} \in GF(2)^{\times N} \mid H \cdot \mathbf{c}^T = \mathbf{0}\}$$

- H est la matrice de parité du code de taille $M \times N$,
- Si H de rang plein : $R = K/N$ avec $K = N - M$,
- Equations de parité : $\bigoplus_{j: h_{ij} \neq 0} c_j = 0, \quad \forall i = 1 \dots M$,
- H est dite à faible densité si

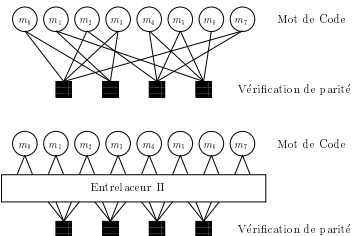
$$\frac{\text{éléments non nuls}}{N.M} \xrightarrow{N \rightarrow +\infty} 0$$

Codes Low-Density Parity-Check (LDPC)

Représentation

$$H = \begin{pmatrix} 1 & 0 & 1 & 1 & 0 & 0 & 0 & 1 \\ 1 & 1 & 0 & 1 & 0 & 0 & 1 & 0 \\ 0 & 0 & 1 & 0 & 1 & 1 & 0 & 1 \\ 0 & 1 & 0 & 0 & 1 & 1 & 1 & 0 \end{pmatrix}$$

Matrice de Parité



Graphe bipartite associé dût de Tanner

Graphe de Tanner

- **Noeuds de variables** : associés au bits du mot de codes,
- **Noeuds de parité** : associés au équations de parités,
- **branches** : lien entre noeuds de variables et noeuds de parité.
Un noeud de variable n sera connecté au noeud de parité m si $h_{mn} = 1$ dans la matrice.

Codes Low-Density Parity-Check (LDPC)

Codes LDPC réguliers

- Paramètres : (d_v, d_c) ,
- d_v : nombre de '1' par colonne,
- d_c : nombre de '1' par ligne,
- $R \geq 1 - d_v/d_c$

$$H = \begin{pmatrix} 1 & 0 & 1 & 1 & 0 & 0 & 0 & 1 \\ 1 & 1 & 0 & 1 & 0 & 0 & 1 & 0 \\ 0 & 0 & 1 & 0 & 1 & 1 & 0 & 1 \\ 0 & 1 & 0 & 0 & 1 & 1 & 1 & 0 \end{pmatrix}$$

Matrice de Parité $(2, d_c)$

Codes Low-Density Parity-Check (LDPC)

Codes LDPC irréguliers

- Polynômes associés aux nœuds de variables et de parité :

$$\lambda(x) = \sum_{i=2}^{d_v} \lambda_i x^{i-1} \quad \rho(x) = \sum_{j=2}^{d_c} \rho_j x^{j-1}$$

avec

- λ_i : proportion de branches connectées à un nœud de variable de degré i ,
 - d_v : nombre maximum de branches connectées à un nœud de variable,
 - ρ_j : proportion de branches connectées à un nœud de parité de degré j ,
 - d_c : nombre maximum de branches connectées à un nœud de contrainte de parité,
- Rendement :

$$R \geq 1 - \frac{\sum_{j=2}^{d_c} \rho_j / j}{\sum_{i=2}^{d_v} \lambda_i / i} \quad (1)$$

Plan

- 1 Codes LDPC
- 2 **Décodage itératif**
- 3 Codes QC-LDPC
- 4 Codes "Protographes"
- 5 Familles dérivées.
- 6 Analyse asymptotique
- 7 Performances

Codes Low-Density Parity-Check (LDPC)

Décodage par Propagation de croyance (Belief Propagation, BP)

Décodage itératif des codes LDPC

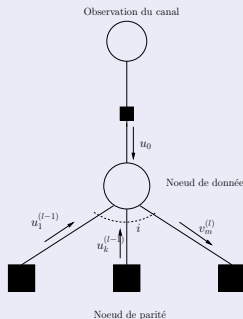
- Décodage par Maximum de vraisemblance trop complexe,
- Mise en oeuvre d'un algorithme itératif de décodage : algorithme de propagation de croyances (Belief Propagation, BP) par mise à jour successive de "messages" (croyances) en sortie de noeud de variables et de parité,
- Hypothèses : entrelacement parfait
 - ⇒ les messages arrivant à un noeud de variable ou de parité sont considérés comme indépendants
 - ⇒ hypothèse d'**arbre local** qui permet un calcul explicite des messages (probabilités ou log-rapport de probabilités (LLR)) transitant sur les branches du graphe de Tanner associé,
- les messages transitant sur le graphe sont par nature extrinsèques,
- Algorithme BP : algorithme itératif sous-optimal à relativement faible complexité.

Codes Low-Density Parity-Check (LDPC)

Décodage par Propagation de croyance

Mise à jour des noeuds de variables

les messages considérés sont des LLR $v = \log\left(\frac{p(c=0|\{z\})}{p(c=1|\{z\})}\right)$



$$v_m^{(l)} = u_0 + \sum_{k=1, k \neq m}^i u_k^{(l-1)}, \forall m = 1 \dots i$$

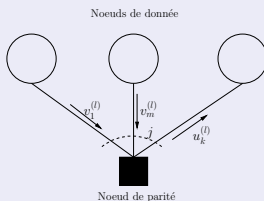
$$u_0 = \log\left(\frac{p(x=0|y)}{p(x=1|y)}\right) = \log\left(\frac{p(y|x=0)}{p(y|x=1)}\right)$$

Codes Low-Density Parity-Check (LDPC)

Décodage par Propagation de croyance

Mise à jour des noeuds de parité

les messages considérés sont des LLR $u = \log\left(\frac{p(c'=0|\{z'\})}{p(c'=1|\{z'\})}\right)$



$$\tanh \frac{u_k^{(l)}}{2} = \prod_{m=1, m \neq k}^j \tanh \frac{v_m^{(l)}}{2}, \forall k = 1 \dots j$$

Codes Low-Density Parity-Check (LDPC)

Décodage par Propagation de croyance

Décodage et décision

$$v_{\text{app},n} = u_0 + \sum_{k=1}^i u_k^{(L)}, \forall n = 1 \dots N$$

$$\hat{m}_n = \frac{1 - \text{sign}(v_{\text{app},n})}{2}, \forall n = 1 \dots N$$

Messages initiaux pour différents canaux

- **BEC** : $u_0 \in \{+\infty, -\infty, 0\}$,
- **BSC** : $u_0 = (-1)^{y[n]} \log\left(\frac{1-p}{p}\right)$,
- **Gaussien** : $u_0 = \frac{2}{\sigma_b^2} y[n]$,

Codes Low-Density Parity-Check (LDPC)

Algorithme BP simplifié : Min-Sum

$$u_k^{(l)} = \left[\prod_{m=1, m \neq k}^j \text{sign}(v_m^{(l)}) \right] \left[\min_{m \neq k} (|v_m^{(l)}|) \right], \forall k = 1 \dots j$$

Algorithme Min-Sum atténué

$$u_k^{(l)} = \alpha_k^{(l)} \left[\prod_{m=1, m \neq k}^j \text{sign}(v_m^{(l)}) \right] \left[\min_{m \neq k} (|v_m^{(l)}|) \right], \forall k = 1 \dots j$$

$0 < \alpha < 1$ est un facteur d'atténuation, éventuellement variable.

Algorithme Min-Sum avec offset

$$u_k^{(l)} = \left[\prod_{m=1, m \neq k}^j \text{sign}(v_m^{(l)}) \right] \left[\max \left\{ \min_{m \neq k} (|v_m^{(l)}|) - \beta, 0 \right\} \right], \forall k = 1 \dots j$$

$0 < \alpha < 1$ est un facteur d'atténuation, éventuellement variable.

Plan

- 1 Codes LDPC
- 2 Décodage itératif
- 3 Codes QC-LDPC**
- 4 Codes "Protographes"
- 5 Familles dérivées.
- 6 Analyse asymptotique
- 7 Performances

Codes Low-Density Parity-Check (LDPC)

Codes LDPC Quasi-Cycliques : un exemple

$$= \left[\begin{array}{cccc|cccc|cccc|cccc} 1 & 0 & 1 & 0 & 0 & 1 & 0 & 0 & 0 & 1 & 1 & 0 & 0 & 0 & 0 & 0 & 0 & 0 & 0 & 0 \\ 0 & 1 & 0 & 1 & 0 & 1 & 1 & 0 & 0 & 0 & 0 & 1 & 0 & 0 & 0 & 0 & 0 & 0 & 0 & 0 \\ 0 & 0 & 1 & 0 & 1 & 0 & 1 & 1 & 0 & 0 & 0 & 0 & 1 & 0 & 0 & 0 & 0 & 0 & 0 & 0 \\ 1 & 0 & 0 & 1 & 0 & 0 & 0 & 1 & 1 & 0 & 0 & 0 & 0 & 1 & 0 & 0 & 0 & 0 & 0 & 0 \\ \hline 0 & 1 & 0 & 0 & 1 & 0 & 0 & 0 & 1 & 1 & 0 & 0 & 0 & 0 & 1 & 0 & 0 & 0 & 0 & 0 \\ 1 & 1 & 0 & 0 & 0 & 0 & 1 & 0 & 1 & 0 & 0 & 0 & 0 & 0 & 0 & 1 & 0 & 0 & 0 & 0 \\ 0 & 1 & 1 & 0 & 0 & 0 & 0 & 1 & 0 & 1 & 0 & 0 & 0 & 0 & 0 & 0 & 1 & 0 & 0 & 0 \\ 0 & 0 & 1 & 1 & 0 & 1 & 0 & 0 & 1 & 0 & 0 & 0 & 0 & 0 & 0 & 0 & 0 & 1 & 0 & 0 \\ 0 & 0 & 0 & 1 & 1 & 0 & 1 & 0 & 0 & 0 & 1 & 0 & 0 & 0 & 0 & 0 & 0 & 0 & 1 & 0 \\ 1 & 0 & 0 & 0 & 1 & 1 & 0 & 1 & 0 & 0 & 0 & 0 & 0 & 0 & 0 & 0 & 0 & 0 & 0 & 1 \end{array} \right].$$

Matrice de Parité d'un code quasi-cyclique

$$\left. \begin{array}{l} \mathbf{c} = [00110|01100|10000|00011] \\ \tilde{\mathbf{c}} = [00011|00110|01000|10001] \end{array} \right\} \text{deux mots de codes}$$

Codes Low-Density Parity-Check (LDPC)

Codes Quasi-cycliques : définitions et propriétés

Définitions

- ➊ chaque mot de code de taille $N = n \times L$ comportent n sections de L bits,
- ➋ toute permutation circulaire des mots de codes restreinte à la longueur d'une section est un mot de code.

Représentation

- **Matrice polynomiale** : ces matrices peuvent être représentées par une matrice dite polynomiale dont les éléments sont des polynômes associés à la matrice de permutation,

$$P = \begin{pmatrix} 0 & 1 & 0 & \dots & \dots & 0 \\ 0 & 0 & 1 & 0 & \ddots & \vdots \\ \vdots & & \ddots & \ddots & \ddots & \vdots \\ \vdots & & & \ddots & 1 & 0 \\ 0 & & & & 0 & 1 \\ 1 & 0 & \dots & \dots & \dots & 0 \end{pmatrix}$$

Codes Low-Density Parity-Check (LDPC)

Codes Quasi-cycliques : définitions et propriétés

Exemple :

$$H = \begin{pmatrix} I + P^2 & I + P^4 & I & 0 \\ I + P & P + P^3 & 0 & I \end{pmatrix}$$

Définitions

- **Matrice de base** : on peut associer à la matrice H une matrice de base H_B dont les éléments sont le nombre de monômes à chaque éléments non nul de taille $L \times L$,
- **Ordre de lift/extension/expansion** : on dit que H est obtenue par extension ou "lifting" de H_B d'ordre L .

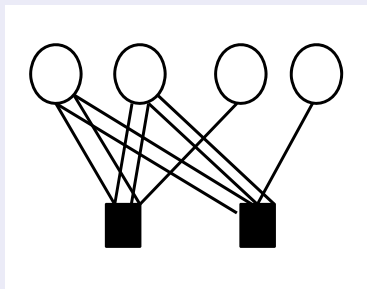
$$H_B = \begin{pmatrix} 2 & 2 & 1 & 0 \\ 2 & 2 & 0 & 1 \end{pmatrix}$$

Codes Low-Density Parity-Check (LDPC)

Codes Quasi-cycliques : définitions et propriétés

Représentation par protographes

- on peut associer un graphe de Tanner à H_B qui représente la description synthétique des connexions de H ,
- le graphe résultant est appelé protographe (projected-graph),



Représentation du graphe projeté (protographe)

Codes Low-Density Parity-Check (LDPC)

Codes Quasi-cycliques : intérêts pratiques

- le codage peut être réalisé de manière linéaire en temps car la matrice génératrice peut être réalisée à l'aide de simples registres à décalage,
- représentation de H simplifiée par utilisation conjointe de la matrice de base et des polynômes associés à l'extension,
- le décodage peut-être réalisé de manière fortement parallélisée
⇒ codes ayant en général un très bon compromis complexité/performance
⇒ de facto, le type de codes utilisés dans les standards

Plan

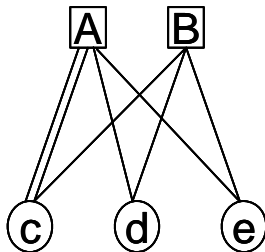
- 1 Codes LDPC
- 2 Décodage itératif
- 3 Codes QC-LDPC
- 4 Codes "Protographes"**
- 5 Familles dérivées.
- 6 Analyse asymptotique
- 7 Performances

Codes Low-Density Parity-Check (LDPC)

Codes basés protographes : définition

Définition

Protographe = graphe bipartite de petite taille à partir duquel on construit un graphe plus grand par une procédure dite de "copies et permutations"

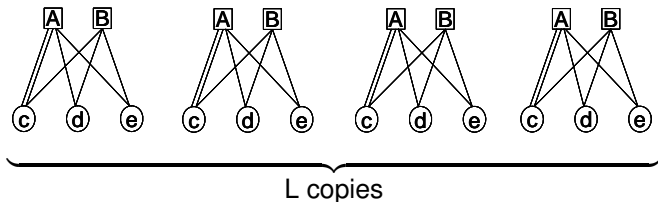


Codes Low-Density Parity-Check (LDPC)

Codes basés protographes : construction

Etape de copie

- 1 le protographe est recopié L fois pour obtenir L répliques.
- 2 L est choisi de manière arbitraire pour obtenir la taille de mot de code souhaitée $N = n$.

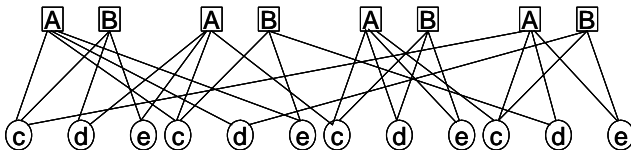


Codes Low-Density Parity-Check (LDPC)

Codes basés protographes : construction

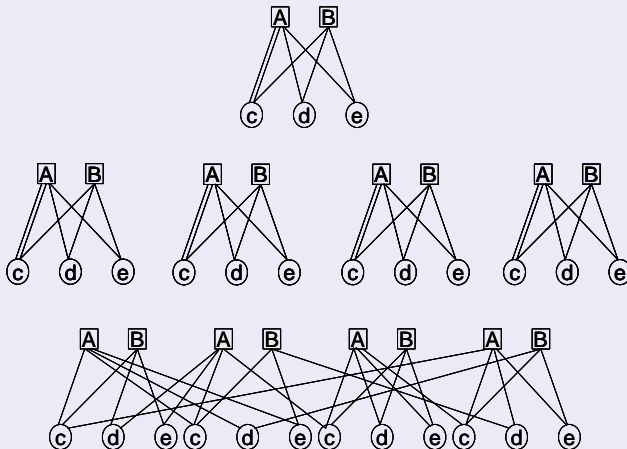
Etape de permutations

- 1 les branches des différentes répliques sont permutées entre les différentes répliques,
- 2 **contrainte de permutation** : si un nœud de variable V_j est relié avec un nœud de contrainte C_i dans le protographe, le nœud V_j de chaque réplique ne pourra être connecté qu'à un des L nœuds C_i de chaque réplique,



Codes Low-Density Parity-Check (LDPC)

Codes basés Protographes



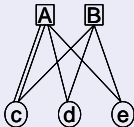
Représentation complète de la procédure de construction

Codes Low-Density Parity-Check (LDPC)

Codes basés Protographes : propriétés

Propriétés

- si les permutations sont définies à l'aide de matrices circulantes alors on obtient un code QC-LDPC,
- le protographe peut être également décrit par sa matrice d'adjacence ou matrice de base H_B ,

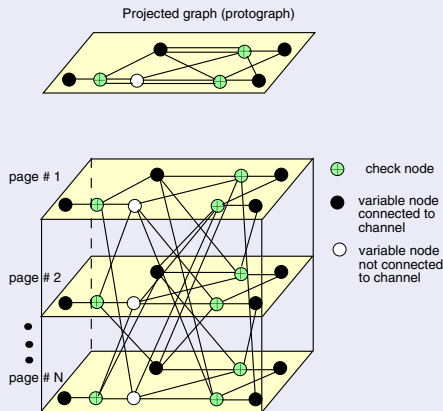


$$H_B = \begin{bmatrix} 2 & 1 & 1 \\ 1 & 1 & 1 \end{bmatrix}$$

architecture hautement parallélisable et encodage aisé si QC,
codes protographes = codes LDPC dits structurés

Codes Low-Density Parity-Check (LDPC)

Codes basés Protographes



Représentation d'un protographe comme un graphe projeté

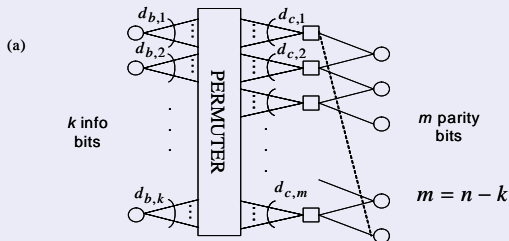
Plan

- 1 Codes LDPC
- 2 Décodage itératif
- 3 Codes QC-LDPC
- 4 Codes "Protographes"
- 5 Familles dérivées.**
- 6 Analyse asymptotique
- 7 Performances

Codes Low-Density Parity-Check (LDPC)

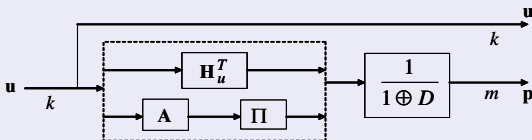
Codes Irregular Repeat Accumulate

Structure



(b)

	$d_{b,i}$	$d_{c,j}$	$m = n - k$
RA	q	1	$m > k, m = qk$
IRA	variable	variable	$m \geq 1, k \geq 1$



Codes Low-Density Parity-Check (LDPC)

Codes Irregular Repeat Accumulate

Structure

- structure IRA classique : $H = [H_u H_p]$, H_u matrice de permutation

$$H_p = \begin{bmatrix} 1 & & & & & & \\ & 1 & & & & & \\ & & \ddots & & & & \\ & & & \ddots & & & \\ & & & & 1 & & 1 \\ & & & & & 1 & 1 \end{bmatrix} \quad (1)$$

- structure QC-IRA : $H_{QC} = [H_{p,QC} H_{p,QC}]$

$$H_{p,QC} = \begin{bmatrix} I & & & & & & P \\ & I & & & & & \\ & & \ddots & & & & \\ & & & \ddots & & & \\ & & & & I & & I \\ & & & & & I & I \end{bmatrix}$$

Codes Low-Density Parity-Check (LDPC)

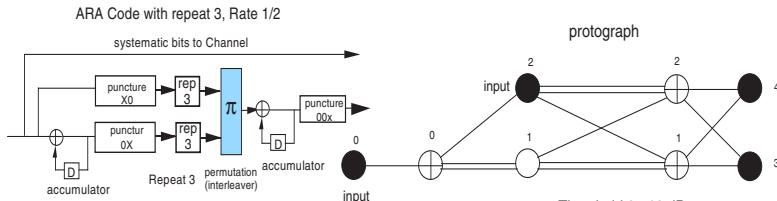
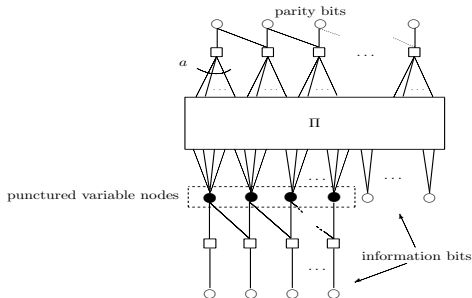
Codes Irregular Repeat Accumulate

Standardisation

- ETSI DVB-S2 : codes LDPC IRA, $N = 64800, 16200$.
 $R = 1/4, \dots, 9/10$.
- IEEE 802.11n et 802.16e : codes type QC-IRA avec accumulateur modifié pour encodage aisé.

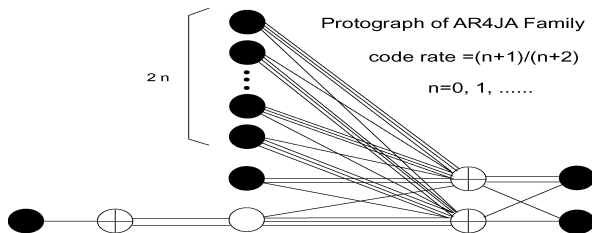
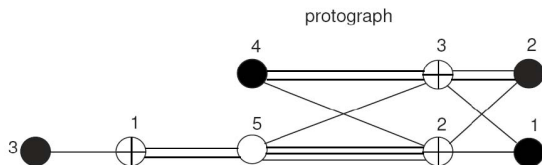
Codes Low-Density Parity-Check (LDPC)

Codes Accumulate Repeat Accumulate (ARA)



Codes Low-Density Parity-Check (LDPC)

Codes ARJA (Accumulate Repeat Jagged Accumulate), proposition CCSDS



Codes Low-Density Parity-Check (LDPC)

Codes ARJA : performances

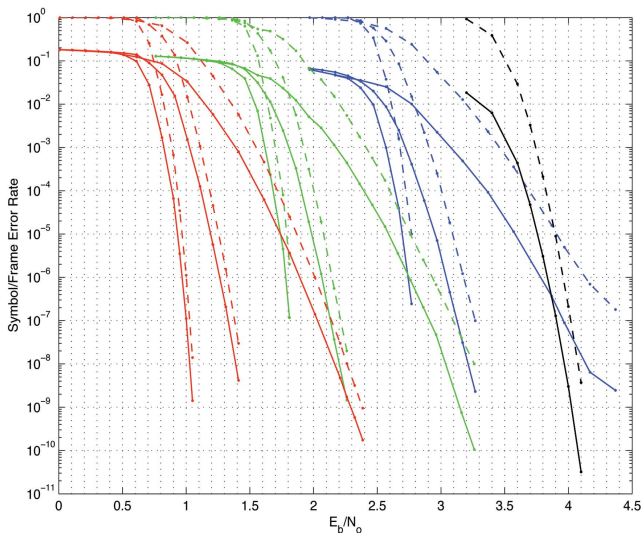
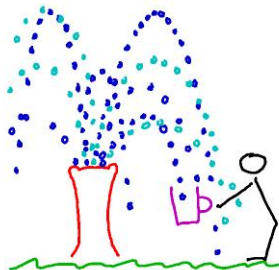


Fig. 13. Bit error rate (solid) and codeword error rate (dashed) for nine ARJA codes and C_2 , with code rates 1/2 (red), 2/3 (green), 4/5 (blue), and 0.8752 (black); and blocklengths $k = 16, 384, 4096, 1024$ (left to right in each group), and 7156 (code C_2).

Problématique

Codes Fontaines [Byers99] :

- Avec K **symboles d'entrée** (info.), l'émetteur génère une suite "illimitée" de **symboles de sortie**.
- Un récepteur peut décoder n'importe quel sous-ensemble de $K(1 + \epsilon)$ symboles de sortie reçus.
- Application : transmission multicast.



Copyright Pr. David J.C. MacKay's
website

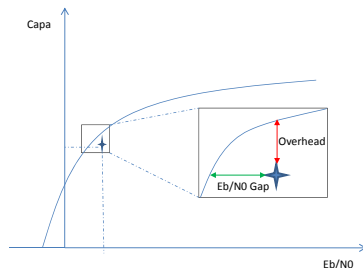
Codes sans rendement

- Rendement *a posteriori* $R_{LT} \triangleq \frac{\text{Nb symb. entrée}}{\text{Nb symb. sortie nécessaires pour décoder}}$
- Overhead ϵ : $R_{LT}(1 + \epsilon) = C$ (écart à la capacité)

Problématique

Codes Fontaines [Byers99] :

- Avec K **symboles d'entrée** (info.), l'émetteur génère une suite "illimitée" de **symboles de sortie**.
- Un récepteur peut décoder n'importe quel sous-ensemble de $K(1 + \epsilon)$ symboles de sortie reçus.
- Application : transmission multicast.



Codes sans rendement

- Rendement a posteriori $R_{LT} \triangleq \frac{\text{Nb symb. entrée}}{\text{Nb symb. sortie nécessaires pour décoder}}$
- Overhead ϵ : $R_{LT}(1 + \epsilon) = C$ (écart à la capacité)

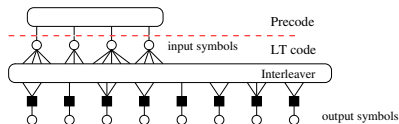
Structure

[Luby02]

- code LT caractérisé par une *distribution de degrés de sortie* $\Omega(x) = \sum_{i=1}^{d_c} \Omega_i x^i$
- $\Omega(x)$ est optimisé pour le décodage *itératif*

Génération des symboles codés :

- 1 Tirer un degré d selon $\Omega(x)$
- 2 Sélectionner d symboles d'entrée de manière uniforme.
- 3 Symbole codé émis = XOR des symboles d'entrée



- ▣ Les codes LT atteignent la capacité sur le CBE.
- ▣ Complexité de décodage : $\mathcal{O}(K \log(K))$ pour une probabilité arbitrairement faible.

[Shokrollahi04]

- Raptor code = précode (code externe) + code LT (code interne, rateless),
- Précode = code correcteur d'erreur de fort rendement,
- Complexité de décodage : $\mathcal{O}(K)$,
- Standardisé pour 3GPP-MBMS (codage pour la couche transport) avec décodage par élimination Gaussienne sur le BEC.

Plan

- 1 Codes LDPC
- 2 Décodage itératif
- 3 Codes QC-LDPC
- 4 Codes "Protographes"
- 5 Familles dérivées.
- 6 Analyse asymptotique**
- 7 Performances

Codes Low-Density Parity-Check (LDPC)

Analysis et optimisation asymptotique : pourquoi ?

Motivations

- 1 Système itératif \Leftrightarrow caractérisation des points fixes,
- 2 Prédire les performances asymptotiques pour une famille donnée $(\lambda(x), \rho(x))$ et un canal donné,
- 3 En deduire des familles "intéressantes" du point de vue du seuil de convergence, ie. approchant la capacité pour une complexité donnée,
- 4 une fois la famille sélectionnée, un code peut être construit qui hérite de ses performances asymptotiques (sélection d'un candidat d'une "bonne" famille),
- 5 limitations : valable dns le cadre asymptotique seulement.

Codes Low-Density Parity-Check (LDPC)

Analysis et optimisation asymptotique : cas BEC

Probabilité d'effacement en sortie d'un noeud de variable

- **Hypothèses** : entrelacement parfait (cadre asymptotique),
- Probabilité d'effacement à la sortie d'un noeud de variable de degré i :

$$x_v^{(\ell)}(i) = \epsilon (x_c^{(\ell)})^{(i-1)}$$

- Probabilité d'effacement moyenne à la sortie d'un noeud de variable :

$$x_v^{(\ell)} = \sum_i^{d_v} \lambda_i x_v^{(\ell)}(i) = \epsilon \lambda (x_c^{(\ell-1)})$$

Codes Low-Density Parity-Check (LDPC)

Analysis et optimisation asymptotique : cas BEC

Probabilité d'effacement à la sortie d'un noeud de variable de parité

- Probabilité d'effacement à la sortie d'un noeud de parité de degré j

$$x_c^{(\ell)}(j) = 1 - (1 - x_v^{(\ell)})^{j-1}$$

- Probabilité d'effacement moyenne à la sortie d'un noeud de variable :

$$x_c^{(\ell)} = \sum_i^{d_c} \rho_i x_u^{(\ell)}(j) = 1 - \rho(1 - x_v^{(\ell)})$$

Codes Low-Density Parity-Check (LDPC)

Analysis et optimisation asymptotique : cas BEC

Equation d'évolution

$$x_v^{(\ell)}(\epsilon) = \epsilon \lambda(1 - \rho(1 - x_v^{(\ell-1)})) = F(\epsilon, x_v^{(\ell-1)})$$

- $F(\epsilon, x)$ fonction croissante de x et ϵ ,
- Monotonie par rapport au paramètre de canal :

$$\text{Si } x_v^{(\ell)}(\epsilon) \xrightarrow{\ell \rightarrow +\infty} 0, \text{ alors } x_v^{(\ell)}(\epsilon') \xrightarrow{\ell \rightarrow +\infty} 0, \quad \forall 0 \leq \epsilon' \leq \epsilon$$

- Convergence vers un point fixe dans $[0, \epsilon]$, solution de

$$F(\epsilon, x) = x$$

Notion de seuil de convergence ("threshold")

$$\epsilon^* = \sup_{\epsilon} \{x_v^{(\ell)}(\epsilon) \xrightarrow{\ell \rightarrow +\infty} 0\}$$

Codes Low-Density Parity-Check (LDPC)

Analysis et optimisation asymptotique : cas BEC

Condition de stabilité

Pour le point fixe $x_v = 0$, les distributions de degrés doivent vérifiées :

$$\epsilon \lambda'(0) \rho'(1) < 1$$

Optimisation d'une séquence pour $\rho(x)$ fixé (notation vectorielle)

$$\underline{\lambda}_{opt} = \max_{\underline{\lambda}} \underline{1/d_v}^\top \underline{\lambda}$$

sous les contraintes :

[C₁] Contrainte de mélange : $\underline{\lambda}^\top \underline{1} = 1$

[C₂] Contrainte de proportion : $\lambda_i \in [0, 1], \forall i = 2 \dots d_v$

[C₃] Contrainte de convergence : $F(\underline{\lambda}, x, \frac{2}{\sigma^2}) < x, \forall x \in [0, 1]$

[C₄] Condition de stabilité : $\lambda_2 < \frac{1}{\epsilon \sum_{j=2}^{d_c} \rho_j(j-1)}$

Codes Low-Density Parity-Check (LDPC)

Analysis et optimisation asymptotique : cas Gaussien

Canal Gaussien : approximation Gaussienne

- les messages log- rapports de vraisemblance du décodeur sont considérés comme Gaussiens consistents :

$$x \sim \mathcal{N}(\pm m, 2m)$$

- Fonction d'information mutuelle $J(\cdot)$:

$$J(m) = 1 - \mathbb{E}_x(\log_2(1 + e^{-x})), \quad x \sim \mathcal{N}(+m, 2m)$$

Modélisation à la sortie d'un noeud de variable

$$x_v^{(\ell)} = \sum_{i=2}^{d_v} \lambda_i J\left(\frac{2}{\sigma^2} + (i-1)J^{-1}(x_c^{(\ell-1)})\right)$$

Codes Low-Density Parity-Check (LDPC)

Analysis et optimisation asymptotique : cas Gaussien

Modélisation à la sortie d'un noeud de parité

- "Reciprocal channel approximation" pour noeud de parité de degré j :

$$x_c^{(\ell)}(j) = 1 - J \left((j-1)J^{-1} \left(1 - x_v^{(\ell-1)} \right) \right)$$

- Information mutuelle moyenne en sortie de noeud de parité :

$$x_c^{(\ell)} = 1 - \sum_j \rho_j J \left((j-1)J^{-1} \left(1 - x_v^{(\ell-1)} \right) \right)$$

Seuil de convergence ("threshold")

$$x_v^{(l)} = F(\lambda(x), \rho(x), x_v^{(l-1)}, \sigma^2)$$

$$\delta^* = \min_{\sigma^2} \left\{ \frac{1}{2R\sigma^2} \mid F(\lambda(x), \rho(x), x_v, \sigma^2) > x_v, \forall x_v \in [0, 1] \right\} \quad (2)$$

Codes Low-Density Parity-Check (LDPC)

Condition de stabilité

Pour le point fixe $x_v = 1$, les distributions de degrés doivent vérifiées :

$$\lambda'(0)\rho'(1) < \exp\left(\frac{1}{2\sigma^2}\right)$$

Optimisation d'une séquence pour $\rho(x)$ fixé (notations vectorielles)

$$\underline{\lambda}_{opt} = \max_{\underline{\lambda}} \underline{1}/d_v^\top \underline{\lambda}$$

sous les contraintes :

[C₁] Contrainte de mélange : $\underline{\lambda}^\top \underline{1} = 1$

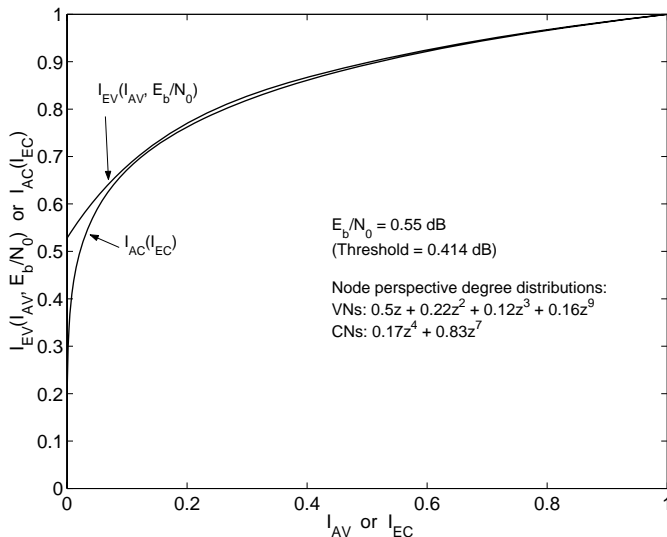
[C₂] Contrainte de proportion : $\lambda_i \in [0, 1], \forall i = 2 \dots d_v$

[C₃] Contrainte de convergence : $F(\underline{\lambda}, x, \frac{2}{\sigma^2}) > x, \forall x \in [0, 1]$

[C₄] Condition de stabilité : $\lambda_2 < \frac{1}{\sum_{j=2}^{d_c} \rho_j(j-1)} e^{\frac{1}{2\sigma^2}}$

Codes Low-Density Parity-Check (LDPC)

Analys et optimisation asymptotique : EXIT charts

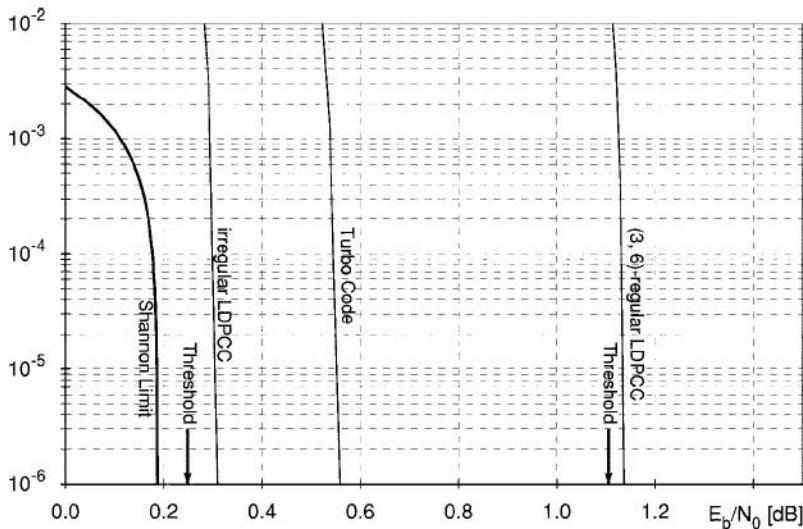


Plan

- 1 Codes LDPC
- 2 Décodage itératif
- 3 Codes QC-LDPC
- 4 Codes "Protographes"
- 5 Familles dérivées.
- 6 Analyse asymptotique
- 7 Performances**

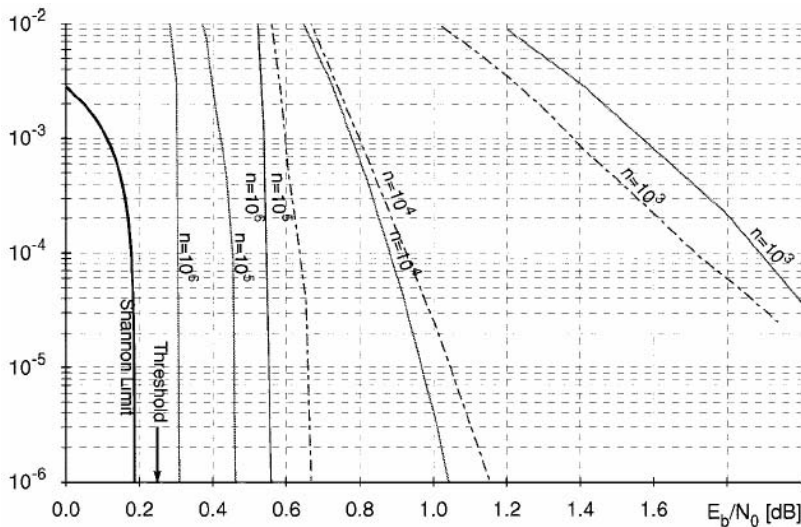
Codes Low-Density Parity-Check (LDPC)

Performances asymptotiques



Codes Low-Density Parity-Check (LDPC)

Performances



Bibliographie

- W.E. Ryan, Shu Lin, *Channel codes : classical and modern*, Cambridge University Press, 2009.
- T. Richardson, R. Urbanke, *Modern coding theory*, Cambridge University Press, 2008.
- S.J. Johnson, *Iterative Error Correction : Turbo, Low-Density Parity-Check and Repeat-Accumulate Codes*, Cambridge University Press, 2010.
- Todd K. Moon, *Error Control Coding : Mathematical Methods and Algorithms*, Wiley, 2005.